

## Влияние постоянного магнитного поля на преодоление дислокациями короткодействующих препятствий в монокристаллах LiF

© Ю.И. Головин, Р.Б. Моргунов, С.Е. Жуликов

Тамбовский государственный университет им. Г.Р. Державина,  
392622 Тамбов, Россия

(Поступила в Редакцию 30 июля 1996 г.)

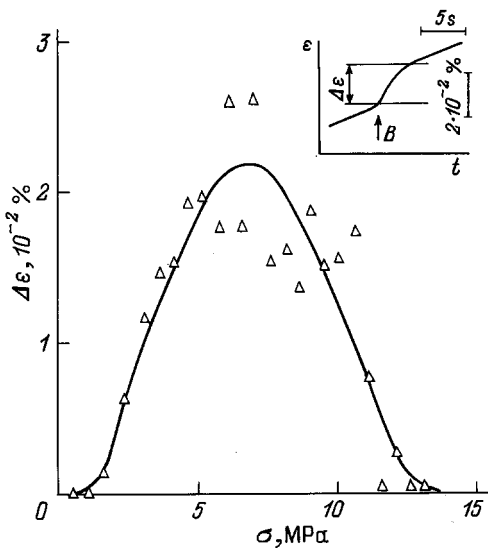
В работах [1–3] установлено, что постоянное магнитное поле (МП) с индукцией  $B < 1$  Т заметно влияет на пластические свойства ионных кристаллов. При обсуждении экспериментальных результатов в числе наиболее вероятных причин, способных привести к пластифицированию кристаллов в МП, обычно предполагается влияние МП на частоту синглетно-триплетных переходов в радикальных парах, образованных радикалами, принадлежащими точечному дефекту и дислокации [4,5]. Включение поля стимулирует переходы пар в менее глубокое триплетное состояние, так что средняя энергия связи дислокации со стопором уменьшается [4]. В рамках описанного механизма значительную роль в торможении дислокаций должны играть обменные силы, т. е. стопоры с малым дальнодействием. Однако, несколько известно авторам, до сих пор отсутствуют экспериментальные данные, позволяющие судить об эффективном радиусе взаимодействия дислокаций с теми препятствиями, преодоление которых облегчается в МП, а следовательно, и о роли обменного взаимодействия между дислокацией и стопором. Поэтому цель настоящей работы заключалась в сравнении степени дальнодействия следующих типов стопоров: облегченно преодолеваемых в МП и нечувствительных к его наличию.

Как известно, о дальнодействии стопоров и их силовом профиле можно судить по величине активационного объема преодоления стопоров дислокациями  $\gamma$  [5], который и измерялся в наших опытах в процессе ползучести кристаллов в МП ( $\gamma_f$ ) и без него ( $\gamma_0$ ). В экспериментах использовались номинально чистые монокристаллы LiF с исходной плотностью дислокаций  $\sim 5 \cdot 10^5 - 10^6 \text{ cm}^{-2}$  и пределом текучести  $\sigma_y \approx 2 \cdot 10^6 \text{ Pa}$ . Образцы размером  $4 \times 4 \times 10 \text{ mm}$  подвергались сжатию вдоль [001] постоянным механическим напряжением  $\sigma = \text{const}$ .

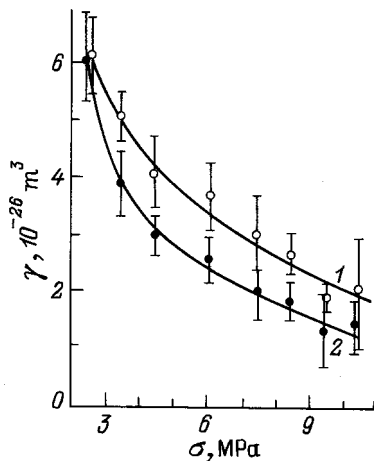
В первой серии опытов при  $\sigma > \sigma_y$  включение МП (вектор магнитной индукции которого был направлен перпендикулярно оси сжатия, а величина  $B = 0.7$  Т) приводило к увеличению скорости установившейся ползучести  $\dot{\varepsilon} = d\varepsilon/dt$ . Оно наблюдалось в течение 3–5 с после включения поля и на диаграмме  $\varepsilon(t)$  выглядело как "скачок"  $\Delta\varepsilon$  (врезка на рис. 1). Величина  $\Delta\varepsilon$  немонотонно зависела от  $\sigma$  и была максимальна при  $\sigma = 7 \cdot 10^6 \text{ Pa}$  (рис. 1). После восстановления  $\dot{\varepsilon}$  к прежнему значению (равному  $\dot{\varepsilon}$  до включения МП)

производилось измерение  $\gamma_f$ . Для этого использовалась методика скачкообразного подгружения образца дополнительной механической нагрузкой  $\Delta\sigma \ll \sigma$ , позволяющая вычислять  $\gamma$ , сравнивая  $\dot{\varepsilon}$  до и после подгружения [6]. Зависимость  $\gamma_f(\sigma)$  (полученная усреднением по 15–20 измерениям при каждом  $\sigma$ ) отражала усредненный по ансамблю профиль дислокационных стопоров в МП [7] (рис. 2). Вторая серия опытов играла роль контрольной и отличалась от первой только тем, что во время измерения активационного объема  $\gamma_0$  МП отсутствовало. Зависимость  $\gamma_0(\sigma)$  в этой серии отражала усредненный профиль стопоров без МП. Сравнение зависимостей  $\gamma_f(\sigma)$  и  $\gamma_0(\sigma)$  позволило обнаружить отличие усредненных профилей препятствий в МП и без него (рис. 2).

Поскольку спектр стопоров в исследуемых кристаллах весьма широк, измеряемая величина  $\gamma$  является интегральной характеристикой преодоления дислокациями стопоров разного типа. Увеличение  $\gamma$  в МП свидетельствует об облегченном преодолении дислокациями части стопоров. Если условно



**Рис. 1.** Зависимость величины скачка деформации  $\Delta\varepsilon$ , вызванного в кристаллах LiF действием магнитного поля  $b = 0.7$  Т, от величины механического напряжения, при котором осуществлялась ползучесть образцов. На врезке — фрагмент типичной зависимости относительной деформации образца  $\varepsilon$  от времени деформирования  $t$  монокристаллов LiF в режиме ползучести под нагрузкой  $\sigma = 5$  МПа в момент включения МП.



**Рис. 2.** Зависимости активационного объема процесса преодоления стопоров дислокаций  $\gamma$  от механического напряжения  $\sigma$ , при котором осуществлялась ползучесть, для кристаллов, деформирование которых осуществлялось в МП  $B = 0.7$  Т (1), и для контрольных образцов ( $B = 0$ ) (2).

разделить все стопоры на два класса: 1) дальнодействующие (способные оказывать тормозящее влияние на дислокации с расстоянием  $\sim 10\text{--}100$  Å и характеризующиеся средней частотой преодоления без МП  $\nu_1$ ); 2) короткодействующие (с эффективным радиусом взаимодействия  $\sim 1$  Å и частотой преодоления без МП  $\nu_2$ ), то можно определить, какая из величин ( $\nu_1$  или  $\nu_2$ ) увеличивается в МП. Согласно [7], о крутизне силового профиля препятствия  $K = \Delta F/\Delta L$  ( $\Delta F$  — изменение силы, действующей на дислокацию со стороны препятствия при изменении расстояния между ее ядром и центром тормозящего дефекта на  $\Delta L$ ) можно судить по значению  $K = \Delta F/\Delta L = 2^{1/2}(\Delta\sigma/\Delta\gamma)d^2b^2$  ( $d$  — активационная длина,  $b$  — величина вектора Бюргерса дислокации). Из рис. 2 следует, что при деформировании кристаллов в МП происходит одновременное увеличение  $\gamma \sim d$  и  $\Delta\sigma/\Delta\gamma$ . Следовательно, значение  $K$  возрастает в МП. С другой стороны, среднюю крутизну препятствий в предположении их независимого преодоления можно выразить через частоты преодоления каждого типа препятствий в виде  $K = \Delta F/\Delta L = (k_1\nu_1 + k_2\nu_2)/(\nu_1 + \nu_2)$ , где  $k_1$  и  $k_2$  — крутизна дальнодействующих и короткодействующих препятствий соответственно ( $k_1 < k_2$ ). Пластификация кристаллов (возрастание  $\gamma$ ) свидетельствует о том, что одна из этих частот возросла, а увеличение  $K$  приводит к выводу о возрастании  $\nu_2$ . Значит, в МП в среднем чаще начинают преодолеваться именно короткодействующие стопоры. Этот вывод можно пояснить тем, что при измерении  $\gamma$  определяются параметры только тех препятствий, которые реально преодолеваются дислокациями во время измерения. Таким образом, разупрочняющее действие МП за-

ключается в облегчении преодоления дислокациями короткодействующих препятствий. Ими могут быть парамагнитные примесные центры в объеме кристалла, способные образовывать радикальные пары с аналогичными центрами на движущихся дислокациях.

Работа выполнена при частично финансовой поддержке Госкомитета РФ по высшему образованию (проект 95-0-7.1-58).

### Список литературы

- [1] В.И. Альшиц, Е.В. Даринская, Т.М. Перекалина, А.А. Урусовская. ФТТ **29**, 2, 467 (1987).
- [2] Ю.И. Головин, Р.Б. Моргунов. Письма в ЖЭТФ **61**, 7, 583 (1995).
- [3] Ю.И. Головин, Р.Б. Моргунов. Письма в ЖЭТФ **58**, 3, 189 (1993).
- [4] М.И. Молоцкий. ФТТ **33**, 10, 3112 (1991).
- [5] В.И. Альшиц, Е.В. Даринская, Е.А. Петржик. ФТТ **33**, 10, 3001 (1991).
- [6] F. Apple. Phys. Stat. Sol. (a) **31**, 7, 615 (1975).
- [7] Ю.З. Эстрин, А.А. Урусовская, Г.Г. Кнаб. Кристаллография **17**, 1, 532 (1972).